

岐阜大学工学部 河村三郎

雨水流による斜面侵食においても、河川の河床変動の場合と同様に、流砂に関する運動方程式と連続式、及び流水に関する運動方程式と摩擦速度の式から、次の拡散の式が得られる。

$$\frac{\partial Z}{\partial t} = K \frac{\partial^2 Z}{\partial x^2} \quad \text{---(1)}$$

ここに、 t : 時間, K : 拡散係数である。この式を Fig. 1

に示す定義図のような場合（例えば、傾斜地に溝を掘った場合、 $D_2=0$ とはるような階段状の盛土や切土部分）について解析し、侵食・堆積の状況を考察する。またがり流路の Head Cut についても考察する。 S_0 は緩勾配とし、次の条件で式(1)を解く。

$$\begin{aligned} f(x) &= 0 : -b < x < b \\ &= D_1 : x < -b \\ &= D_2 : x > b \end{aligned}$$

得られた結果は、次のようにある。

$$\begin{aligned} Z &= \frac{D_1}{2} \left[1 - \operatorname{erf} \left(\frac{b+x}{2\sqrt{Kt}} \right) \right] \\ &\quad + \frac{D_2}{2} \left[1 - \operatorname{erf} \left(\frac{b-x}{2\sqrt{Kt}} \right) \right] \quad \text{---(2)} \end{aligned}$$

ここに $\operatorname{erf}(x)$ は誤差関数である。

この式を変形して無次元表示すると、

$$\begin{aligned} \frac{Z}{D_1} &= \frac{1}{2} \left[1 - \operatorname{erf} \left(\frac{1+x/b}{2\sqrt{Kt}/b} \right) \right] \\ &\quad + \frac{1}{2} \left(\frac{D_2}{D_1} \right) \left[1 - \operatorname{erf} \left(\frac{1-x/b}{2\sqrt{Kt}/b} \right) \right] \quad \text{---(2') } \end{aligned}$$

Case I ($D_2/D_1 = 0.25, 0.5$ の場合)

$2\sqrt{Kt}/b$ をパラメータにとって、

Z/D_1 と x/b との関係を示したのが Fig. 2, 3 である。

Case II ($D_1 = D_2$) 式(2') から、

$$\frac{Z}{D_1} = \frac{1}{2} \left[\operatorname{erf} \left(\frac{1+x/b}{2\sqrt{Kt}/b} \right) + \operatorname{erf} \left(\frac{1-x/b}{2\sqrt{Kt}/b} \right) \right]$$

この結果を示すと Fig. 4 のようである。

Case III ($D_2 = 0, b = 0$) 式(2') から、

$$\frac{Z}{D_1} = \frac{1}{2} \left(1 - \operatorname{erf} \left(\frac{x}{2\sqrt{Kt}} \right) \right) = \frac{1}{2} \left(1 - \operatorname{erf} \left(\frac{x/D_1}{2\sqrt{Kt}/D_1} \right) \right) \quad (4)$$

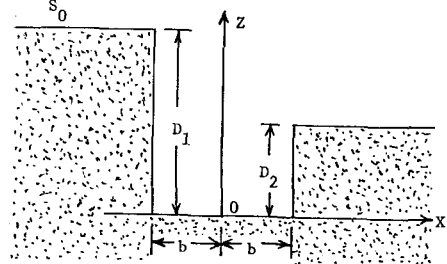
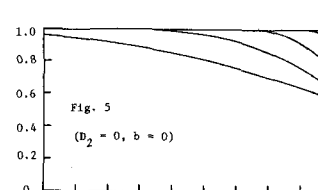
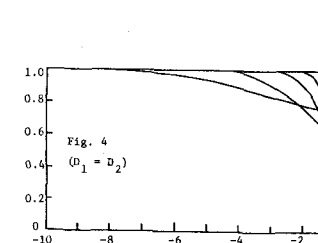
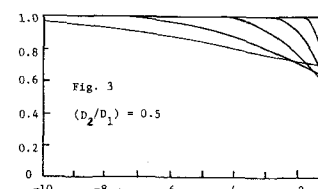
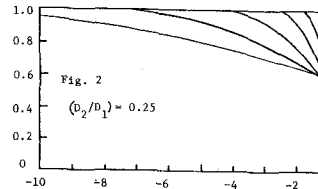


Fig. 1 Definition Sketch



計算結果を Fig. 5 に示した。

Case IV (かり流路のHead Cut の解析) 下流端出口に土砂の堆積が生じないものとし, Case IIIの結果を利用し, さらにFig. 6 のように X 軸を上流方向にとると,

$$Z = D \cdot \operatorname{erf}(X/2\sqrt{Kt}) + S_0 X \quad \text{---(5)} \quad \text{Head Cut の高さ } H \text{ の } D \text{ との比を } j \text{ とすると, } D = jH$$

であり, さらに X について微分すると, $\frac{dZ}{dX} = (jH/\sqrt{Kt}) \exp[-(X/2\sqrt{Kt})^2] + S_0 \text{ ---(6)}$

Fig. 7において $\Delta t = t_2 - t_1$, $\Delta X = X_2 - X_1$ とし, この Δt 時間内のHead cutによる侵食土砂重量 G は, $G = \rho_s H B \Delta X \text{ ---(7)}$ であり, ここに ρ_s : 土砂の単位重量, B : Head cut の流路幅

一方, この Δt 時間における上・下流の流砂量の差は, $G = [\rho_s(d)\Delta t - \rho_s(u)\Delta t]B \text{ ---(8)}$

$$\text{式(7)と(8)を等置して, } \frac{\Delta Z}{\Delta t} = [\rho_s(d) - \rho_s(u)]/\rho_s H \text{ ---(9)} \quad \text{Head cut では, } \rho_s(d) \gg \rho_s(u)$$

したがって, $\frac{dZ}{dt} = \rho_s(d)/\rho_s H \text{ ---(10)}$ となる。¹⁾ また, 流砂量 ρ_s は近似的に,

$$\rho_s = \rho_s K \frac{dZ}{dx} \text{ ---(11)} \text{ で与えられる。} \text{ したがって,}$$

$$\text{Head cut の伝播速度 } \frac{dY}{dt} = W \text{ は, } W = \frac{K}{H} \frac{dZ}{dx} \text{ ---(12)}$$

となる。式(12)に式(6)を代入すると,

$$W = \frac{jK}{\sqrt{Kt}} \exp\left[-\left(\frac{X}{2\sqrt{Kt}}\right)^2\right] + \frac{KS_0}{H} \text{ ---(13)}$$

この式を無次元化すると,

$$\frac{WH}{K} = \frac{j}{\sqrt{Kt}/H} \exp\left\{-\left(\frac{(X/H)}{2\sqrt{Kt}/H}\right)^2\right\} + S_0 \text{ ---(14)}$$

\sqrt{Kt}/H をパラメーターにとり, HW/K と X/H との関係を $j = 2$ (について示したのが Fig. 8 である。図中には, Begin-Meyer-Shumm¹⁾ のデータを記入した。図中の包絡線の式は, $Y = \sqrt{Kt}/H$ とおいて, Y について微分すると, $(X/H)^2 = 2Y^2$ が得ら

れ, $X = \sqrt{2Kt}$ と

なる。 $(X/H)^2 =$

$2Y^2$ を式(14)に

代入すると,

$$\frac{WH}{K} - S_0 = \frac{j e^{-j/2}}{\sqrt{Kt}} Y$$

が得られる。²⁾

この式に $Y = (X/H)/2$

を代入して, $j =$

2.0 のとき,

$$\frac{WH}{K} = \frac{0.968}{(X/H)} + S_0$$

となる。実験データは $X = dt^\theta$

で与えて整理し

た。文献

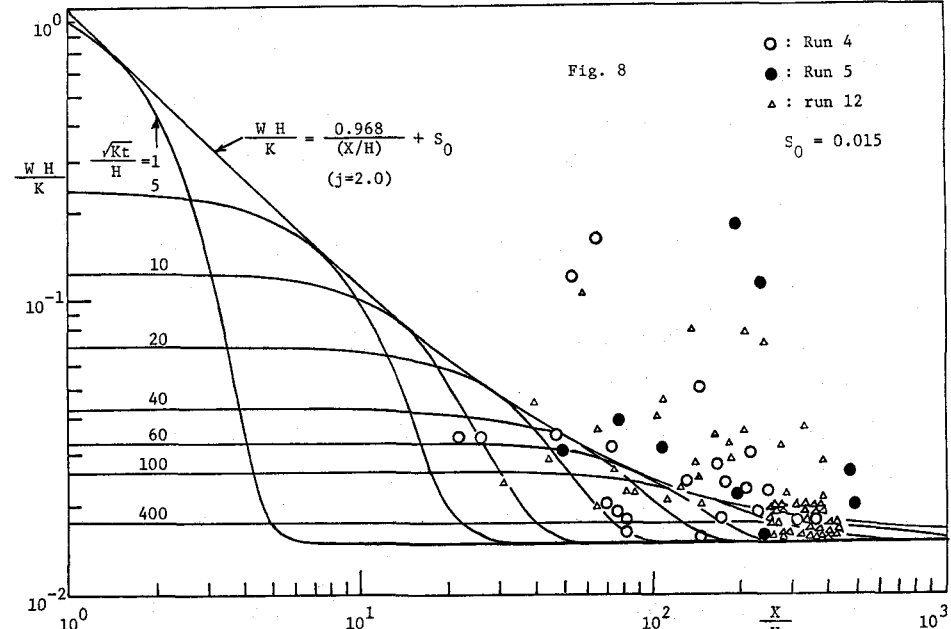


Fig. 8

○: Run 4

●: Run 5

△: run 12

$$S_0 = 0.015$$

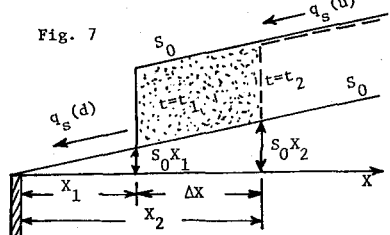


Fig. 7

¹⁾ Begin, Z.B. et al. "Knickpoint Migration due to Baselevel Lowering," Proc. ASCE, WW3, 1980, pp. 369-388.